

РЕШЕНИЕ ЗАДАЧ ДИФРАКЦИОННОЙ НАНОФОТОНИКИ НА ОСНОВЕ УРАВНЕНИЙ МАКСВЕЛЛА

Сойфер В.А.

Институт систем обработки изображений РАН

e-mail: soifer@ssau.ru

Головашкин Д.Л.

Досколович Л.Л.

Котляр В.В.

Скиданов Р.В.

Харитонов С.И.

Хонина С.Н.

Дифракционная нанофотоника рассматривает взаимодействие света с неоднородностями, размер которых составляет величину от десятка до нескольких десятков нанометров, при этом определяющую роль играет волновая природа света, а математическим аппаратом являются уравнения Максвелла.

Развитие дифракционной нанофотоники связано с созданием новых и совершенствованием известных численных методов решения уравнений Максвелла. В докладе рассмотрены решения задач дифракционной нанофотоники с помощью методов FDTD, FEM, RCWA, асимптотических и основанных на расчете векторных дифракционных интегралов. Предложены примеры их применения.

1. Разностное решение уравнений Максвелла (FDTD-метод)

Математической основой FDTD-метода принято считать разностные схемы Yee [1], в которых каждая сеточная функция (в общем случае таких функций 6 – по три проекции электрической и магнитной компонент поля) выражается через значения на предыдущих временных слоях в явном виде. Основная особенность схемы состоит в раздельном расположении узлов сеточной области для каждой проекции напряженности поля, что повышает порядок аппроксимации разностной схемой исходной краевой задачи до второго.

При исследовании прохождения ТЕ-волны через цилиндрические оптические элементы ограничиваются двумерной задачей, накладывая сеточную область D_h , в узлах которой (t_m, y_j, z_k) : $t_m = mh_t$, $m=0, 1, \dots, M=T/h_t$, $y_j = jh_y$, $j=0, \dots, J=L_y/h_y$, $z_k = kh_z$, $k=0, \dots, K=L_z/h_z$ определена сеточная проекция электрического поля на ось X - $E_{x_j,k}^m$. Сеточная проекция магнитного поля на ось Z - $H_{z_{j+0.5,k}}^{m+0.5}$ определена в узлах $(t_{m+0.5}, y_{j+0.5}, z_k)$: $t_{m+0.5} = (m+0.5)h_t$, $m=0, 1, \dots, M-1$, $y_{j+0.5} = (j+0.5)h_y$, $j=0, \dots, J-1$, $z_k = kh_z$, $k=1, \dots, K-1$ и проекция магнитного поля на Y - $H_{y_{j,k+0.5}}^{m+0.5}$ в узлах $(t_{m+0.5}, y_j, z_{k+0.5})$: $t_{m+0.5} = (m+0.5)h_t$, $m=0, 1, \dots, M-1$, $y_j = jh_y$, $j=1, \dots, J-1$, $z_{k+0.5} = (k+0.5)h_z$, $k=0, \dots, K-1$. Тогда схема Yee принимает вид:

$$\mu_0 \frac{H_{y_{j,k+0.5}}^{m+0.5} - H_{y_{j,k+0.5}}^{m-0.5}}{h_t} = -\frac{E_{x_{j,k+1}}^m - E_{x_{j,k}}^m}{h_z}, \quad \mu_0 \frac{H_{z_{j+0.5,k}}^{m+0.5} - H_{z_{j+0.5,k}}^{m-0.5}}{h_t} = \frac{E_{x_{j+1,k}}^m - E_{x_{j,k}}^m}{h_y},$$

$$\epsilon_0 \epsilon_{j,k} \frac{E_{xj,k}^{m+1} - E_{xj,k}^m}{h_t} = \frac{H_{zj+0.5,k}^{m+0.5} - H_{zj-0.5,k}^{m+0.5}}{h_y} - \frac{H_{yj,k+0.5}^{m+0.5} - H_{yj,k-0.5}^{m+0.5}}{h_z},$$

где ϵ_0, μ_0 – электрическая и магнитная постоянные, оптический элемент описывается сеточной функцией диэлектрической проницаемости $\epsilon_{j,k}$.

В силу высокой вычислительной сложности FDTD-метода актуальна разработка параллельных алгоритмов для современных вычислительных комплексов [2], в частности, получивших широкую популярность графических процессоров (GPU). Это подтверждается обилием современных коммерческих и свободных программных пакетов (W2405 Agilent FDTD Simulation Element компании Agilent, Concerto компании Cobham Technical Services, SEMCAD X OPTICS компании Speag, Xfdtd компании RemCom и FastFDTD компании EM Photonics), предназначенных для расчетов по FDTD. Однако, в упомянутых программных комплексах не преодолевается серьезное ограничение на объем вычислительной области, ограничивающейся памятью видео карты. Разработанный авторами метод декомпозиции области для организации вычислений по FDTD-алгоритму на GPU основан на учете особенностей распространения излучения в слоистых средах и позволяет обойти приведенное ограничение.

В качестве примера рассматривается прохождение короткого импульса лазерного излучения через дифракционный оптический элемент (ДОЭ).

2. Метод конечных элементов (Finite Element Method)

Как известно, полное монохроматическое поле $u_\Omega(x,y)$ в области Ω должно удовлетворять уравнению Гельмгольца:

$$\nabla \cdot \left[\frac{1}{p(x,y)} \nabla u_\Omega(x,y) \right] + k_0^2 q(x,y) u_\Omega(x,y) = f_\Omega, \quad (1)$$

где $f_\Omega = j k_0 Z_0 J_z$, $p(x,y) = \mu_r$, $q(x,y) = \epsilon_r$ для ТЕ-поляризации и $f_\Omega = - \left[\nabla \times \left(\frac{J_\Omega}{\epsilon_\Omega} \right) \right] \cdot \mathbf{z}$, $p(x,y) = \epsilon_r$, $q(x,y) = \mu_r$ для ТМ-поляризации, k_0 – волновое число. Константы μ_r и ϵ_r представляют собой отношение магнитной и диэлектрической проницаемостей среды к аналогичным показателям свободного пространства, т.е. $\mu_r = \mu/\mu_0$ и $\epsilon_r = \epsilon/\epsilon_0$, $Z_0 = \sqrt{\mu_0/\epsilon_0}$ – импеданс свободного пространства, (J_x, J_y, J_z) – вектор плотности электрического тока источника в области Ω .

Метод Галеркина решения уравнения (1) основан на решении соотношений вида:

$$\iint_{\Omega} \left(-\frac{1}{p} \Delta u_\Omega \gamma - q k^2 u_\Omega \gamma - f_\Omega \gamma \right) d\Omega = 0,$$

где γ – произвольная функция из области Ω . Используя первую формулу Грина, получим:

$$\iint_{\Omega} \left(\frac{1}{p} \Delta u_\Omega(x,y) \nabla \gamma - q k^2 u_\Omega(x,y) \gamma \right) d\Omega - \int_{\Gamma} \frac{\gamma}{p} \frac{du_\Omega(x,y)}{dn} d\Gamma = \iint_{\Omega} f_\Omega d\Omega \quad (2)$$

Подставляя в соотношение (2) вместо произвольной функции γ систему кусочно-линейных базисных функций $\{\omega_{k,l}^\Omega(x,y)\}_{k,l=0}^{N_x, N_y}$, где N_x, N_y – число узлов сеточного покрытия прямоугольной области Ω по оси x и y соответственно, можно записать систему линейных алгебраических уравнений для поля \mathbf{u} и его нормальных производных на границе \mathbf{v} : $\mathbf{A}\mathbf{u} + \mathbf{B}\mathbf{v} = \mathbf{C}\mathbf{f}$. Решая указанную систему находим численное решение (1).

Иллюстрируем изложенный метод применением для градиентной линзы Микаэляна (ЛМ) [3], которая собирает все лучи, падающие параллельно оптической оси в точку на оптической оси на противоположной поверхности линзы. Показатель преломления ЛМ меняется от центра к краю линзы по закону: $n(y) = \frac{n_0}{ch\left(\frac{\pi|y|}{2L}\right)}$, (3)

где L – фокусное расстояние, n_0 – показатель преломления на оптической оси z .

На рис. 1 представлены инвертированные распределения интенсивности поля дифракции ТЕ- и ТМ-поляризованных волн на ЛМ размерами 3×3 мкм с распределением показателя преломления согласно (3). Длина волны составляла $\lambda = 1.5$ мкм, длина линзы равна фокусному расстоянию $L = 3$ мкм. Коэффициент преломления материала линзы $n_0 = 1.5$. Апертура линзы $b = 3$ мкм.

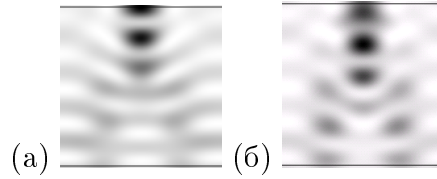


Рис. 1. Распределение интенсивности поля дифракции на ЛМ ТЕ- (а) и ТМ- поляризованной (б) волн. Ось Z направлена вертикально.

3. Метод Фурье-мод (Rigorous Coupled Wave Analysis)

Метод Фурье-мод (в англоязычной литературе – Rigorous Coupled Wave Analysis) ориентирован на численное решение векторных уравнений Максвелла для случая периодических структур [4,5]. Метод использует два приближения: а) кусочно-постоянную аппроксимацию периодической структуры набором «бинарных слоев» (в каждом слое диэлектрическая (магнитная) проницаемость материала структуры не зависит от переменной z , ось Oz – перпендикулярна структуре); б) представление диэлектрической и магнитной проницаемостей материала в каждом слое отрезками рядов Фурье. В рамках метода электромагнитное поле в областях до и после структурой задается в виде суперпозиции плоских волн (порядков дифракции). В каждом слое структуры поле представляется в виде разложения по Фурье-модам. Вычисление Фурье-мод сводится к задаче на собственные значения. Последовательное наложение условий равенств тангенциальных компонент поля на границах слоев сводит определение амплитуд отраженных и прошедших порядков дифракции к решению системы линейных уравнений.

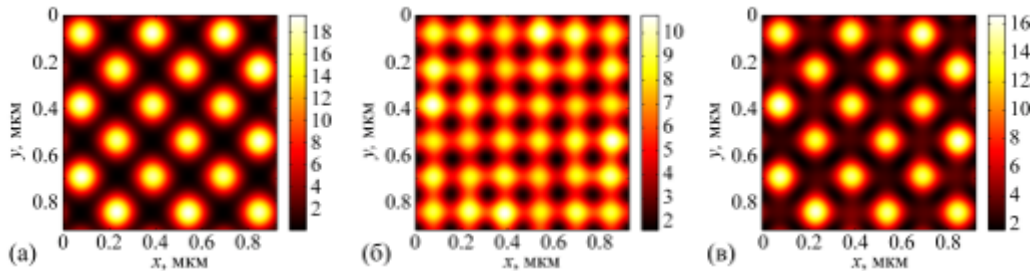


Рис. 2. Интерференционные картины ПЭВ (квадрат модуля электрического поля), формируемые на нижней границе металлического слоя в пределах одного периода решетки (920×920 нм) при длине волны 550 нм для линейной (а), круговой (б) и эллиптической (в) поляризации падающей волны.

Авторами работы создано программное обеспечение, реализующее современный вариант метода и адаптированное к параллельным и кластерным вычислениям. Программное обеспечение предназначено для расчета многопорядковых дифракционных

решеток, поляризационных и спектральных фильтров, метаматериалов, периодических структур для формирования интерференционных картин затухающих и поверхностных электромагнитных волн (ПЭВ) с существенно субволновым периодом. В последнем случае структура состоит из диэлектрической дифракционной решетки с металлическим слоем на подложке. Решетка предназначена для возбуждения на нижней поверхности слоя набора ПЭВ, формирующих интерференционную картину. Основной областью применения таких структур является контактная нанолитография. На рис. 2 представлены результаты моделирования интерференционных картин ПЭВ, формируемых на нижней границе металлического слоя (Ag) при различных поляризациях падающей волны. Отметим, что периоды интерференционных картин в 4-6 раз меньше, чем период используемой дифракционной решетки.

4. Асимптотики для задач дифракционной оптики

Рассмотрим решение задачи дифракции на эталонном ДОЭ. Эталонный ДОЭ - это оптический элемент с показателем преломления следующего вида $n(x^1, x^2) = \Phi(g(x^1, x^2))$, где $\Phi(x)$ функция с периодом 2π . Функция $g(x^1, x^2)$ имеет вид

$$g(x^1, x^2) = g(x_0) + (g_1, (x - x_0)) + 0.5(x - x_0)^T M(x_0)(x - x_0),$$

где $(,)$ - означает скалярное произведение 2-х векторов, g_1 - вектор первых производных функции в точке x_0 , $M(x_0)$ - матрица вторых производных (Гесса). С помощью преобразования поворота функцию $g(x^1, x^2)$ можно привести к виду с разделяющимися переменными

$$g(y^1, y^2) = g(x_0^1, x_0^2) + (\chi_1 y^1 + \chi_2 y^2) + 0.5(\beta_1 (y^1)^2 + \beta_2 (y^2)^2), \quad g_1 = Z\chi, \quad \chi = \begin{pmatrix} \chi_1 \\ \chi_2 \end{pmatrix}.$$

Поле на выходе ДОЭ в в точке (x^1, x^2) имеет вид

$$\begin{pmatrix} E_{y_1} \\ E_{y_2} \end{pmatrix} = \sum_n (\gamma T^{n,1} e_{n1} - T^{n,2} e_{n2}) \exp(ikng_0) \exp\left(-\frac{r^2}{2\sigma^2}\right),$$

$$\gamma = \sqrt{\varepsilon - (n\chi_1)^2 - (n\chi_2)^2}, \quad e_{n1} = \begin{pmatrix} n\chi_1 \\ n\chi_2 \end{pmatrix}, \quad e_{n2} = \begin{pmatrix} -n\chi_2 \\ n\chi_1 \end{pmatrix},$$

где r - расстояние от начала координат до точки на ДОЭ. Коэффициенты дифракции вычисляются с учетом дифракции электромагнитного излучения внутри ДОЭ. В отличии от [6] коэффициенты зависят не только от χ_i , которые определяют пространственную частоту локальной дифракционной решетки, но и от коэффициентов β_i при квадратичных членах.

В качестве примера рассмотрено применение асимптотического метода к расчету дифракции линейно поляризованного электромагнитного излучения на бинарном ДОЭ для фокусировки в кольцо.

5. Расчет векторных дифракционных интегралов

Для лазерных пучков, компоненты электрического поля которых представимы в виде следующей суперпозиции вихревых пучков:

$$\mathbf{E}_0(x, y) = \sum_{l=1}^L \mathbf{E}_l(r) \exp(im_l \varphi), \quad (4)$$

разработан быстрый алгоритм расчёта распространения, основанный на разложении по плоским волнам в модификации Мансурипура [7]:

$$\mathbf{E}(\rho, \theta, z) = k^2 \sum_{l=1}^L i^{2m_l} \exp(im_l \theta) \int_0^{\sigma_0} \mathbf{Q}_{m_l}(k\rho, \theta) \cdot \mathbf{P}_{m_l}(\sigma) \exp[ikz\sqrt{1-\sigma^2}] \sigma d\sigma, \quad (5)$$

где $\mathbf{P}_m(\sigma) = \int_0^R \mathbf{E}_m(r) J_m(kr\sigma) r dr$,

$$\mathbf{Q}_m(s, \theta) = \begin{bmatrix} t_s B_m^{ss}(s, \theta) + t_p \gamma B_m^{cc}(s, \theta) & B_m^{sc}(s, \theta) (t_p \gamma - t_s) \\ B_m^{sc}(s, \theta) (t_p \gamma - t_s) & t_s B_m^{cc}(s, \theta) + t_p \gamma B_m^{ss}(s, \theta) \\ -t_p \sigma B_m^c(s, \theta) & -t_p \sigma B_m^s(s, \theta) \end{bmatrix}, \quad (6)$$

$$B_m^c(s, \theta) = \frac{i}{2} [e^{i\theta} J_{m+1}(s) - e^{-i\theta} J_{m-1}(s)], \quad B_m^s(s, \theta) = \frac{1}{2} [e^{i\theta} J_{m+1}(s) + e^{-i\theta} J_{m-1}(s)],$$


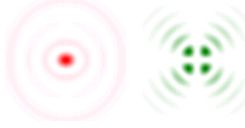

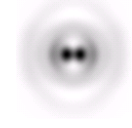
$$B_m^{sc}(s, \theta) = \frac{i}{4} [e^{i2\theta} J_{m+2}(s) - e^{-i2\theta} J_{m-2}(s)],$$

$$B_m^{cc}(s, \theta) = \frac{1}{4} [2J_m(s) - e^{i2\theta} J_{m+2}(s) + e^{-i2\theta} J_{m-2}(s)],$$

$$B_m^{ss}(s, \theta) = \frac{1}{4} [2J_m(s) + e^{i2\theta} J_{m+2}(s) + e^{-i2\theta} J_{m-2}(s)], \quad \gamma = \sqrt{1-\sigma^2}, \quad t_s, t_p - \text{коэффициенты пропускания Френеля для ТЕ- и ТМ-компонент, соответственно.}$$

В качестве примера рассмотрим в Таблице 1 дифракцию ограниченной плоской волны с линейной поляризацией на бинарном микроаксиконе радиусом $2,5\lambda$ на расстоянии $0,7\lambda$.

Т а б л и ц а 1.

оптический элемент	расчет по (4)-(6): $ E_x ^2, E_y ^2, E_z ^2, E ^2$		расчет методом FDTD, $ E ^2$
 FWHM(-)	 0,517λ	 0,899λ	

Сравнение результатов моделирования дифракции на микроэлементах радиусом в несколько длин волн с помощью (4)-(6) и методом FDTD, показывает хорошее согласование при существенно меньших временных затратах.

6. Математическое моделирование оптического захвата и перемещения микрочастиц

В работе [8] на основании решения уравнений Максвелла получены формулы, позволяющие рассматривать силы, действующие на микрочастицу. Для проверки адекватности выведенных формул было промоделировано движение микрочастицы, представляющей собой эллипсоид вращения с полуосями $3,5\mu\text{м}$ и $2,2\mu\text{м}$ (вращение вокруг большей полуоси) в пучке Бесселя 5-го порядка. Показатель преломления микрочастицы 1,44, мощность пучка Бесселя 200мВт. В качестве среды была выбрана вода при комнатной температуре, для которой хорошо известны параметры вязкости. Для сравнения использовались экспериментальные результаты по круговому движению клетки дрожжей (такого же размера) в пучке Бесселя 5-го порядка, той же мощности. Предполагается что массы реальной частицы (клетки дрожжей) и частицы в математической модели примерно одинаковы. Также не учитывалась сила сухого трения. При моделировании движения микрочастицы в световом пучке решалась система уравнений движения.

Результаты моделирования и натурального эксперимента по фазам движения через одинаковые промежутки времени приведены на рис.3 и находятся в хорошем соответствии.

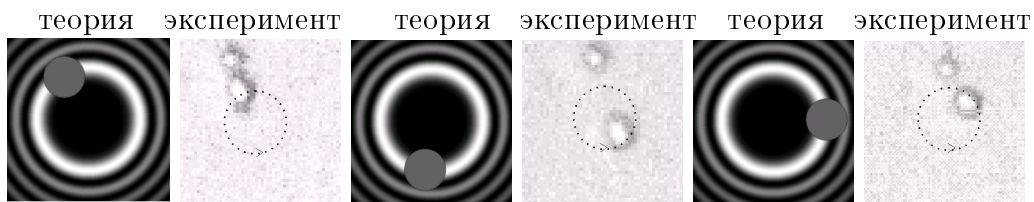


Рис. 3. Сравнение результатов моделирования и эксперимента.

Заключение

Уравнения Максвелла адекватно описывают широкий круг современных задач дифракционной нанофотоники: распространение лазерного излучения через фокусирующие ДОЭ, фотонно-кристаллические линзы и волноводы, плазмонные структуры, оптический захват и механическое перемещение кластеров наночастиц. Многообразие задач порождает и многообразие методов решения уравнений Максвелла: FDTD, RCWA, ФЕМ, асимптотический подход и расчет векторных дифракционных интегралов. Доклад обобщает опыт авторов в расчете устройств дифракционной оптики и нанофотоники.

Список литературы

- [1] YEE K.S. Numerical solution of initial boundary value problems involving Maxwell's equations in isotropic media // IEEE Trans. Antennas Propag. 1966. AP-14. P. 302–307.
- [2] YU W., MITTRA R., SU T., LIU Y., YANG H. Parallel Finite-Difference Time-Domain Method. Boston: Artech House Publishers, 2006. 272 p.
- [3] МИКАЭЛЯН А. Л. Применение свойств среды для фокусирования волн // Доклады академии наук СССР. 1951. Вып. 81. С. 569-571.
- [4] MOHARAM M.G., POMMET D.A., GRANN E.B., GAYLORD T.K. Stable implementation of the rigorous coupled-wave analysis for surface-relief gratings: enhanced transmittance matrix approach // JOSA A, 1995. N12(5). pp. 1077-1086.
- [5] LIFENG LI New formulation of the Fourier modal method for crossed surface-relief gratings // JOSA A. 1997. Vol.14, N10., pp. 2758-2767.
- [6] ГРЕЙСУХ Г.И., ЕФИМЕНКО И.М., СТЕПАНОВ С.А. Оптика градиентных и дифракционных элементов. М.: Радио и связь, 1990. 136 с.
- [7] MANSURIPUR, M. Certain computational aspects of vector diffraction problems // J. Opt. Soc. Am. A. 1989. Vol. 6, No. 5. pp. 786-805.
- [8] СКИДАНОВ Р.В. Расчет силы взаимодействия светового пучка с микрочастицами произвольной формы // Компьютерная оптика. 2005. Вып. 28. С.18-21.